

# Схема Годунова 60 лет спустя

**С.К. Годунов**

(доклад подготовлен по совместным работам с Пешковым И.М.,  
Киселевым С.П., Мали В.И. и Куликовым И.М.)

**18 марта 2013 г., МИАН, г. Москва**

# Одномерные уравнения газовой динамики

Уравнение состояния:  $\rho_0 E = \frac{\rho_0 c_0^2}{\gamma(\gamma-1)} \left( \frac{\sigma(S)}{V} \right)^{\gamma-1}$

$$p = -E_V(V, S) \quad p_V = -E_{VV}(V, S) \quad [V(p, S)]_p = -\frac{1}{E_{VV}(V, S)} = -\frac{1}{a^2(V, S)}$$

$\left[ \rho_0 E(V, S) + \frac{\rho_0 u^2}{2} \right]_u = \rho_0 u \times$	$\frac{\partial u}{\partial t} + \frac{\partial p}{\partial m} = 0 \quad \text{I}$
$\left[ \rho_0 E(V, S) + \frac{\rho_0 u^2}{2} \right]_V = p \times$	$\frac{\partial V}{\partial t} - \frac{\partial u}{\partial m} = 0$
$\left[ \rho_0 E(V, S) + \frac{\rho_0 u^2}{2} \right]_S = T \times$	$\frac{\partial S}{\partial t} = 0$
<hr/> $\frac{\partial \rho_0 \left( E + \frac{u^2}{2} \right)}{\partial t} + \frac{\partial p u}{\partial m} = 0$	

$$\frac{\partial u}{\partial t} + \frac{\partial p}{\partial m} = 0 \quad \text{II}$$

$$\frac{1}{a^2} \frac{\partial p}{\partial t} + \frac{\partial u}{\partial m} = 0$$

$$\frac{\partial S}{\partial t} = 0$$



$$u \pm \frac{p}{a}, S$$

римановы инварианты

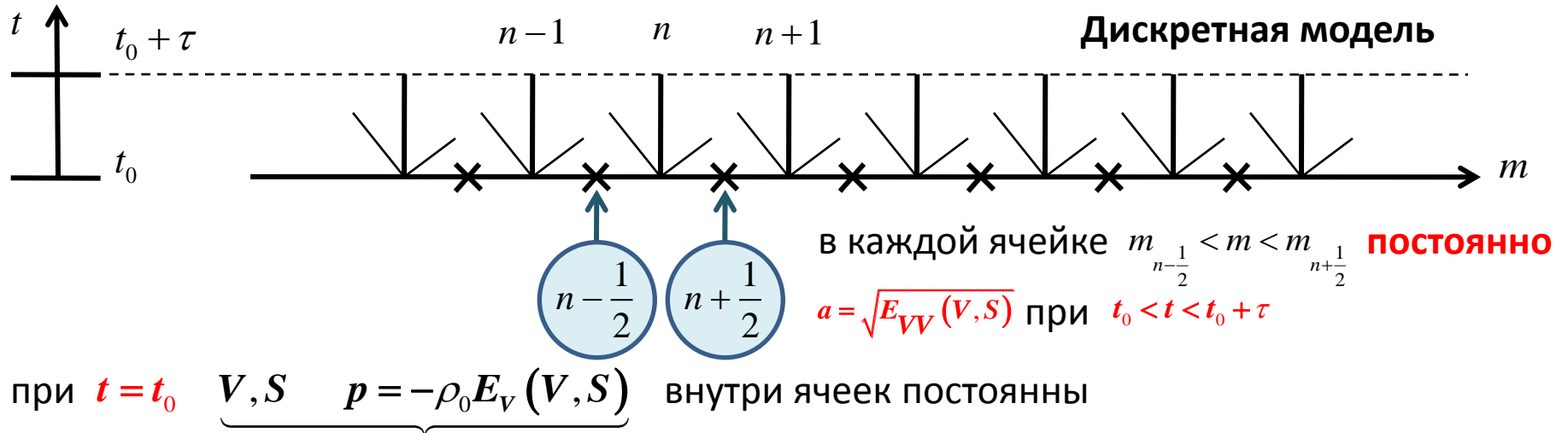
Если предположить, что  $a = \sqrt{E_{VV}(V, S)} = const$  то система II переписывается в виде:

$$\frac{\partial}{\partial t} \left( u + \frac{p}{a} \right) + a \frac{\partial}{\partial m} \left( u + \frac{p}{a} \right) = 0 \quad \frac{\partial S}{\partial t} = 0$$

$$\frac{\partial}{\partial t} \left( u - \frac{p}{a} \right) - a \frac{\partial}{\partial m} \left( u - \frac{p}{a} \right) = 0$$

Эти соображения используются при конструировании **дискретной вычислительной модели**

# Одномерные уравнения газовой динамики



Распады разрывов  $p = P_n$   $u = U_n$  (на границах ячеек) находятся из уравнений

$$U_n + \frac{1}{a_{n-\frac{1}{2}}} P_n = u_{n-\frac{1}{2}} + \frac{1}{a_{n-\frac{1}{2}}} p_{n-\frac{1}{2}}$$

$$U_n - \frac{1}{a_{n+\frac{1}{2}}} P_n = u_{n+\frac{1}{2}} - \frac{1}{a_{n+\frac{1}{2}}} p_{n+\frac{1}{2}}$$

и продолжаются кусочно-постоянными значениями  $u, p, V, S$  внутри ячеек при  $t_0 < t < t_0 + \tau$

При  $t = t_0 + \tau$  в ячейках находятся

$$u^{n+\frac{1}{2}} = u_{n+\frac{1}{2}} - \frac{\tau}{m_{n+1} - m_n} (P_{n+1} - P_n)$$

$$V^{n+\frac{1}{2}} = V_{n+\frac{1}{2}} + \frac{\tau}{m_{n+1} - m_n} (U_{n+1} - U_n)$$

$u^{n+\frac{1}{2}}$   $V^{n+\frac{1}{2}}$  могут быть **также** получены **усреднением** кусочно-постоянных значений внутри ячейки при  $t = t_0 + \tau$

$$\rho_0 E\left(V^{n+\frac{1}{2}}, S_{n+\frac{1}{2}}\right) + \rho_0 \frac{\left(u^{n+\frac{1}{2}}\right)^2}{2} \leq \rho_0 E\left(V_{n+\frac{1}{2}}, S_{n+\frac{1}{2}}\right) + \rho_0 \frac{\left(u_{n+\frac{1}{2}}\right)^2}{2} + \frac{\tau}{m_{n+1} - m_n} (P_{n+1} U_{n+1} - P_n U_n)$$

Если  $E(V, S)$  выпукла по  $V$

$$E_S > 0 \quad \text{то} \quad S^{n+\frac{1}{2}} \geq S_{n+\frac{1}{2}}$$

$$\rho_0 E\left(V^{n+\frac{1}{2}}, S^{n+\frac{1}{2}}\right) + \rho_0 \frac{\left(u^{n+\frac{1}{2}}\right)^2}{2} = \rho_0 E\left(V_{n+\frac{1}{2}}, S_{n+\frac{1}{2}}\right) + \rho_0 \frac{\left(u_{n+\frac{1}{2}}\right)^2}{2} + \frac{\tau}{m_{n+1} - m_n} (P_{n+1} U_{n+1} - P_n U_n)$$

Если  $E(V, S)$  выпукла по  $V$  то  $E_S > 0$   $S^{n+\frac{1}{2}} \geq S_{n+\frac{1}{2}}$

$$\rho_0 E\left(V^{n+\frac{1}{2}}, S_{n+\frac{1}{2}}\right) + \rho_0 \frac{\left(u^{n+\frac{1}{2}}\right)^2}{2} \leq \rho_0 E\left(V_{n+\frac{1}{2}}, S_{n+\frac{1}{2}}\right) + \rho_0 \frac{\left(u_{n+\frac{1}{2}}\right)^2}{2} + \frac{\tau}{m_{n+1} - m_n} (P_{n+1} U_{n+1} - P_n U_n)$$

$$\rho_0 E\left(V^{n+\frac{1}{2}}, S^{n+\frac{1}{2}}\right) + \rho_0 \frac{\left(u^{n+\frac{1}{2}}\right)^2}{2} = \rho_0 E\left(V_{n+\frac{1}{2}}, S_{n+\frac{1}{2}}\right) + \rho_0 \frac{\left(u_{n+\frac{1}{2}}\right)^2}{2} + \frac{\tau}{m_{n+1} - m_n} (P_{n+1} U_{n+1} - P_n U_n)$$

В нашей дискретной модели несмотря на **линеаризованные распады разрывов** справедлив **закон неубывания энтропии**

Изложенная конструкция почти **дословно** переносится на **двух-трехмерные** задачи и использовалась в упругой модели о которой речь пойдет ниже

В работе (Годунов, Манузина, Назарьева, ЖВМиМФ, 2011) экспериментально исследовалась слабая сходимость классической схемы Годунова при  $h \rightarrow 0$  и получены порядки точности  $h^{0.8}$  для  $u, V$  и  $h^{0.5}$  для  $S$ .

**В чем причина? (пока не выяснено)**

В описанной **выше** модели – число точек, на которые размазывается ударная волна, **зависит от её амплитуды**, но не зависит от **шага сетки**.

**Исследования должны быть продолжены.**

# Деформация и уравнение состояния упругой среды

Эйлеровы координаты:

$$x^i = x^i(\underbrace{\xi_1, \xi_2, \xi_3}_t, t)$$

лагранжевы координаты

$$\left\{ \frac{\partial x^i}{\partial \xi^j} \right\} = \{C_j^i\} = C$$

Тензор дисторсии (несимметричный)

Обычно используемый  
тензор деформации  
(симметричный)

$$CC^T$$

Мы будем использовать в  
качестве тензора деформации  
(симметричный)

$$\sqrt{CC^T}$$

Уравнение состояния упругой среды  $\rho_0 E$  – энергия деформации единицы объема

Для **изотропной среды** мы предлагаем выразить  $\rho_0 E$  через **инварианты тензора деформации**

$$\rho_0 E = \rho_0 E \left\{ \det \sqrt{CC^T}, \operatorname{tr} \left[ \sqrt{CC^T} - \frac{1}{3} \operatorname{tr}(\sqrt{CC^T}) I_3 \right]^2, \sigma(S) \right\} \quad \left( \begin{array}{l} \det \sqrt{CC^T} = \det C > 0 \\ S - \text{энтропия} \end{array} \right)$$

$$C \text{ – дисторсия} \quad \frac{\partial C_i^j}{\partial t} = \frac{\partial u^i}{\partial \xi^j}, \quad \frac{dx^i}{dt} = u^i, \quad C_j^i|_{t=0} = \begin{pmatrix} 1 & 0 & 0 \\ 0 & 1 & 0 \\ 0 & 0 & 1 \end{pmatrix}$$

Если среда в «доисторическое» время ( $t < 0$ ) подвергалась деформациям (не обязательно упругим), то мы будем считать, что при  $t > 0$  надо использовать «эффективную» дисторсию

$$D = CB, \quad \boxed{D_j^i = c_k^i b_j^k}, \quad D|_{t=0} = B = \begin{pmatrix} b_1^1 & b_2^1 & b_3^1 \\ b_1^2 & b_2^2 & b_3^2 \\ b_1^3 & b_2^3 & b_3^3 \end{pmatrix}$$

При этом, мы предполагаем, что  $\rho_0 E$  зависит не от дисторсии  $C$ , а от «эффективной дисторсии»

$$D = CB$$

$$\rho_0 E = \rho_0 E \left\{ \det(CB), \operatorname{tr} \left[ \sqrt{CB B^T C^T} - \frac{1}{3} \operatorname{tr} \left( \sqrt{CB B^T C^T} \right) I_3 \right]^2, \sigma(S) \right\}$$

Используемая нами **реализация этой формулы** приведена на следующем слайде

## Уравнение состояния и его производные

$$\rho_0 E = \frac{\rho_0 c_0^2}{\gamma(\gamma-1)} \left[ \sigma(S) \det^{-(\gamma-1)}(CB) + (\gamma-1) \det(CB) \right] - \rho_0 c_1^2 \operatorname{tr} \left[ \sqrt{CBB^T C^T} - \frac{1}{3} \operatorname{tr} \left( \sqrt{CBB^T C^T} \right) I_3 \right]^2$$

Нам в дальнейшем понадобятся матрицы, составленные из производных от  $\rho_0 E$

!!!

$$E_{C_i^j C_k^l} = b_\alpha^i E_{D_\alpha^j D_\beta^l} b_\beta^k$$

$$E_{C_i^j} = E_{D_\beta^j} b_\beta^i$$

Их расчет нужно начинать с вычисления матриц  $E_{D_i^j D_k^l}$   $E_{D_i^j}$ ,

оно проводится после перехода к ортогональному **базису**, в котором

**собственные числа** матрицы  $\sqrt{DD^T} = \sqrt{CBB^T C^T}$  равны  $k_1, k_2, k_3$ ,

а **уравнение состояния** записывается в виде:

$$\rho_0 E = \frac{\rho_0 c_0^2}{\gamma(\gamma-1)} \left[ \sigma(S) (k_1 k_2 k_3)^{-(\gamma-1)} + (\gamma-1) (k_1 k_2 k_3) \right] + \frac{2\rho_0 c_1^2}{3} \left[ k_1^2 + k_2^2 + k_3^2 - k_1 k_2 - k_2 k_3 - k_3 k_1 \right]$$

После вычисления всех нужных производных в этом базисе они преобразуются

к базису исходному. На этом **завершается расчет производных**  $E_{D_i^j D_k^l}$   $E_{D_i^j}$ ,

После этого вычисляются

$$E_{C_i^j C_k^l} = b_\alpha^i E_{D_\alpha^j D_\beta^l} b_\beta^k$$

$$E_{C_i^j} = E_{D_\beta^j} b_\beta^i$$

# Канонический вид уравнения состояния и неравенства

Вот как выглядит в **специальном базисе** матрица  $\rho_0 E_{D_\alpha^j D_\beta^l}$ , если  $\sqrt{DD^T} = \begin{pmatrix} k_1 & 0 & 0 \\ 0 & k_2 & 0 \\ 0 & 0 & k_3 \end{pmatrix}$

$$\rho_0 E_{D_\alpha^j D_\beta^l} = \rho_0 \begin{pmatrix} E_{k_1 k_1} & E_{k_1 k_2} & E_{k_1 k_3} & 0 & 0 & 0 & 0 & 0 & 0 \\ E_{k_1 k_2} & E_{k_2 k_2} & E_{k_2 k_3} & 0 & 0 & 0 & 0 & 0 & 0 \\ E_{k_1 k_3} & E_{k_2 k_3} & E_{k_3 k_3} & 0 & 0 & 0 & 0 & 0 & 0 \\ 0 & 0 & 0 & E_{12}^+ & E_{12}^- & 0 & 0 & 0 & 0 \\ 0 & 0 & 0 & E_{12}^- & E_{12}^+ & 0 & 0 & 0 & 0 \\ 0 & 0 & 0 & 0 & 0 & E_{23}^+ & E_{23}^- & 0 & 0 \\ 0 & 0 & 0 & 0 & 0 & E_{23}^- & E_{23}^+ & 0 & 0 \\ 0 & 0 & 0 & 0 & 0 & 0 & 0 & E_{31}^+ & E_{31}^- \\ 0 & 0 & 0 & 0 & 0 & 0 & 0 & E_{31}^- & E_{31}^+ \end{pmatrix}$$

$$E_{ij}^- = \frac{1}{2} \left( \frac{E_{k_i} - E_{k_j}}{k_i - k_j} - \frac{E_{k_i} + E_{k_j}}{k_i + k_j} \right)$$

$$E_{ij}^+ = \frac{1}{2} \left( \frac{E_{k_i} - E_{k_j}}{k_i - k_j} + \frac{E_{k_i} + E_{k_j}}{k_i + k_j} \right)$$

Она **положительно определена**, если:

$$1) \left\{ E_{k_i k_j} \right\} > 0 \quad 2) \frac{E_{k_i} - E_{k_j}}{k_i - k_j} > 0 \quad 3) \frac{E_{k_i} + E_{k_j}}{k_i + k_j} > 0$$

Уравнения теории упругости записываются в следующем виде:

$$\begin{array}{l}
 u^i \quad \times \\
 \rho_0 E_{c_j^i} \quad \times \\
 T \quad \times
 \end{array}
 \left| \begin{array}{l}
 \frac{\partial \rho_0 u_i}{\partial t} - \frac{\partial}{\partial \xi^j} \left[ \rho_0 E_{c_j^i} \right] = 0 \\
 \frac{\partial C_j^i}{\partial t} - \frac{\partial u^i}{\partial \xi^j} = 0 \\
 \frac{\partial \rho_0 S}{\partial t} = 0
 \end{array} \right. = 0$$

следствие этих уравнений (закон сохранения энергии)

$$\frac{\partial}{\partial t} \left[ \rho_0 \frac{u^i u_j}{2} + \rho_0 E \right] - \frac{\partial}{\partial \xi^j} \left[ u_i^i \rho_0 E_{c_j^i} \right] = 0$$

Уравнения :

$$\frac{\partial \rho_0 u_i}{\partial t} - \frac{\partial}{\partial \xi^j} \left[ \rho_0 E_{c_j^i} \right] = 0$$

$$\frac{\partial C_j^i}{\partial t} - \frac{\partial u^i}{\partial \xi^j} = 0$$

$$\frac{\partial \rho_0 S}{\partial t} = 0, \quad \frac{\partial b_j^i}{\partial t} = 0$$

Тензор напряжений:  $\pi_j^i = \rho_0 E_{c_j^i}$

$$\frac{\partial C_j^i}{\partial t} = \frac{\partial C_j^i}{\partial \pi_l^k} \frac{\partial \pi_l^k}{\partial t}$$

$$\left( \rho_0 E_{c_j^i} \right)_{c_l^k} \frac{\partial C_l^k}{\partial t} = \frac{\partial \pi_j^i}{\partial C_l^k} \frac{\partial C_l^k}{\partial t} = \frac{\partial \pi_j^i}{\partial t}$$

$$\frac{\partial C_l^k}{\partial t} = \left( \rho_0 E_{c_j^i c_l^k} \right)^{-1} \frac{\partial \pi_j^i}{\partial t} \quad \left( \rho_0 E_{c_j^i c_l^k} \right)^{-1} = \Psi$$

Уравнение  $\frac{\partial C_j^i}{\partial t} - \frac{\partial u^i}{\partial \xi^j} = 0$  мы перепишем в виде  $\Psi \frac{\partial \pi_j^i}{\partial t} - \frac{\partial u^i}{\partial \xi^j} = 0$

Все наши расчеты используют уравнения упругости в следующей форме:

$$\begin{pmatrix} \rho_0 I & 0 & 0 & 0 \\ 0 & & & \\ 0 & \Psi & & \\ 0 & & & \end{pmatrix} \frac{\partial}{\partial t} \begin{pmatrix} \mathbf{u} \\ \pi^{[1]} \\ \pi^{[2]} \\ \pi^{[3]} \end{pmatrix} - \begin{pmatrix} 0 & \mathbf{I} & 0 & 0 \\ \mathbf{I} & 0 & 0 & 0 \\ 0 & 0 & 0 & 0 \\ 0 & 0 & 0 & 0 \end{pmatrix} \frac{\partial}{\partial \xi^1} \begin{pmatrix} \mathbf{u} \\ \pi^{[1]} \\ \pi^{[2]} \\ \pi^{[3]} \end{pmatrix} - \begin{pmatrix} 0 & 0 & \mathbf{I} & 0 \\ 0 & 0 & 0 & 0 \\ \mathbf{I} & 0 & 0 & 0 \\ 0 & 0 & 0 & 0 \end{pmatrix} \frac{\partial}{\partial \xi^2} \begin{pmatrix} \mathbf{u} \\ \pi^{[1]} \\ \pi^{[2]} \\ \pi^{[3]} \end{pmatrix} - \begin{pmatrix} 0 & 0 & 0 & \mathbf{I} \\ 0 & 0 & 0 & 0 \\ 0 & 0 & 0 & 0 \\ \mathbf{I} & 0 & 0 & 0 \end{pmatrix} \frac{\partial}{\partial \xi^3} \begin{pmatrix} \mathbf{u} \\ \pi^{[1]} \\ \pi^{[2]} \\ \pi^{[3]} \end{pmatrix} = 0$$

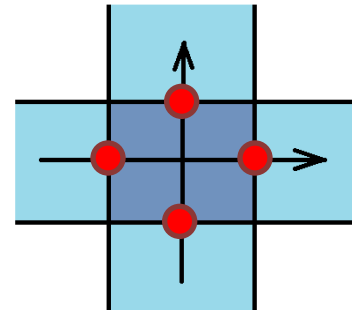
а также (на заключительном этапе расчете шага по  $t$ ) сохранение энергии:

$$\frac{\partial}{\partial t} \left[ \rho_0 \frac{u^i u_j}{2} + \rho_0 E \right] - \frac{\partial}{\partial \xi^j} \left[ u^i \pi_j^i \right] = 0$$

## Исходная система уравнений

$$\begin{pmatrix} \rho_0 \mathbf{I} & 0 & 0 & 0 \\ 0 & & & \\ 0 & [E_{c_i^k c_j^k}]^{-1} & & \\ 0 & & & \end{pmatrix} \frac{\partial}{\partial t} \begin{pmatrix} \mathbf{u} \\ \pi^{[1]} \\ \pi^{[2]} \\ \pi^{[3]} \end{pmatrix} - \begin{pmatrix} 0 & \mathbf{I} & 0 & 0 \\ \mathbf{I} & 0 & 0 & 0 \\ 0 & 0 & 0 & 0 \\ 0 & 0 & 0 & 0 \end{pmatrix} \frac{\partial}{\partial \xi^1} \begin{pmatrix} \mathbf{u} \\ \pi^{[1]} \\ \pi^{[2]} \\ \pi^{[3]} \end{pmatrix} - \begin{pmatrix} 0 & 0 & \mathbf{I} & 0 \\ 0 & 0 & 0 & 0 \\ \mathbf{I} & 0 & 0 & 0 \\ 0 & 0 & 0 & 0 \end{pmatrix} \frac{\partial}{\partial \xi^2} \begin{pmatrix} \mathbf{u} \\ \pi^{[1]} \\ \pi^{[2]} \\ \pi^{[3]} \end{pmatrix} - \begin{pmatrix} 0 & 0 & 0 & \mathbf{I} \\ 0 & 0 & 0 & 0 \\ 0 & 0 & 0 & 0 \\ \mathbf{I} & 0 & 0 & 0 \end{pmatrix} \frac{\partial}{\partial \xi^3} \begin{pmatrix} \mathbf{u} \\ \pi^{[1]} \\ \pi^{[2]} \\ \pi^{[3]} \end{pmatrix} = 0$$

Для расчета «распадов разрывов» на границах ячеек (в точках ●) используются одномерные системы (**расщепление исходной системы**)



Структура ячеек лагранжевой сетки

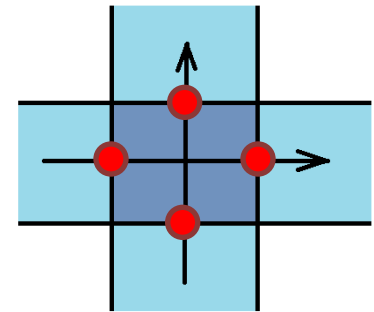
$$\underline{k = 1, 2, 3} \quad \begin{pmatrix} \rho_0 \mathbf{I} & 0 \\ 0 & [E_{c_i^k c_j^k}]^{-1} \end{pmatrix} \frac{\partial}{\partial t} \begin{pmatrix} \mathbf{u} \\ \pi^{[k]} \end{pmatrix} - \begin{pmatrix} 0 & \mathbf{I} \\ \mathbf{I} & 0 \end{pmatrix} \frac{\partial}{\partial \xi^k} \begin{pmatrix} \mathbf{u} \\ \pi^{[k]} \end{pmatrix} = 0$$

Одномерная система:

$$\begin{pmatrix} \rho_0 \mathbf{I} & 0 \\ 0 & \Lambda_{[k]} \end{pmatrix} \frac{\partial}{\partial t} \begin{pmatrix} \mathbf{u} \\ \pi^{[k]} \end{pmatrix} - \begin{pmatrix} 0 & \mathbf{I} \\ \mathbf{I} & 0 \end{pmatrix} \frac{\partial}{\partial \xi^k} \begin{pmatrix} \mathbf{u} \\ \pi^{[k]} \end{pmatrix} = 0 \quad \Lambda_{[k]} = \left[ E_{c_i^k c_j^k} \right]^{-1} \quad \underline{k = 1, 2, 3} \text{ фиксировано}$$

Распад разрыва на границе между соседними ячейками

$$\left( \begin{array}{l} \text{в ячейках} \\ \pi = \begin{pmatrix} \pi_1^{[k]} \\ \pi_2^{[k]} \\ \pi_3^{[k]} \end{pmatrix}, \quad u = \begin{pmatrix} u_1 \\ u_2 \\ u_3 \end{pmatrix}, \quad \Lambda = \Lambda^{[k]} \text{ ПОСТОЯННЫ} \end{array} \right)$$



Уравнения  $\Lambda \frac{\partial \pi}{\partial t} - \frac{\partial u}{\partial \xi} = 0 \quad \Lambda = \Lambda_+ \quad \text{в правой или верхней ячейке}$

$\frac{\partial u}{\partial t} - \frac{\partial \pi}{\partial \xi} = 0 \quad \Lambda = \Lambda_- \quad \text{в левой или нижней ячейке}$

переписываются в каждой ячейке через римановы инварианты

$$\left. \begin{array}{l} \Lambda_+^{\frac{1}{2}} \frac{\partial}{\partial t} \left( \Lambda_+^{\frac{1}{2}} \pi + u \right) - \frac{\partial}{\partial \xi} \left( \Lambda_+^{\frac{1}{2}} \pi + u \right) = 0 \\ \Lambda_+^{\frac{1}{2}} \frac{\partial}{\partial t} \left( \Lambda_+^{\frac{1}{2}} \pi - u \right) - \frac{\partial}{\partial \xi} \left( \Lambda_+^{\frac{1}{2}} \pi - u \right) = 0 \end{array} \right\} \xi > 0$$

$$\left. \begin{array}{l} \Lambda_-^{\frac{1}{2}} \frac{\partial}{\partial t} \left( \Lambda_-^{\frac{1}{2}} \pi + u \right) - \frac{\partial}{\partial \xi} \left( \Lambda_-^{\frac{1}{2}} \pi + u \right) \\ \Lambda_-^{\frac{1}{2}} \frac{\partial}{\partial t} \left( \Lambda_-^{\frac{1}{2}} \pi - u \right) - \frac{\partial}{\partial \xi} \left( \Lambda_-^{\frac{1}{2}} \pi - u \right) = 0 \end{array} \right\} \xi < 0.$$

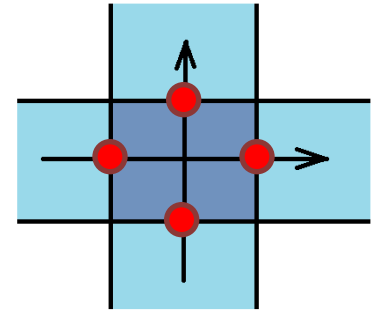
Уравнения для римановых инвариантов:

$$\left. \begin{aligned} \Lambda_+^{\frac{1}{2}} \frac{\partial}{\partial t} \left( \Lambda_+^{\frac{1}{2}} \pi + u \right) - \frac{\partial}{\partial \xi} \left( \Lambda_+^{\frac{1}{2}} \pi + u \right) &= 0 \\ \Lambda_+^{\frac{1}{2}} \frac{\partial}{\partial t} \left( \Lambda_+^{\frac{1}{2}} \pi - u \right) - \frac{\partial}{\partial \xi} \left( \Lambda_+^{\frac{1}{2}} \pi - u \right) &= 0 \end{aligned} \right\} \xi > 0$$

$$\left. \begin{aligned} \Lambda_-^{\frac{1}{2}} \frac{\partial}{\partial t} \left( \Lambda_-^{\frac{1}{2}} \pi + u \right) - \frac{\partial}{\partial \xi} \left( \Lambda_-^{\frac{1}{2}} \pi + u \right) &= 0 \\ \Lambda_-^{\frac{1}{2}} \frac{\partial}{\partial t} \left( \Lambda_-^{\frac{1}{2}} \pi - u \right) - \frac{\partial}{\partial \xi} \left( \Lambda_-^{\frac{1}{2}} \pi - u \right) &= 0 \end{aligned} \right\} \xi < 0.$$

На границе  $\xi = 0$  скорость  $U$  и напряжение  $\Pi$  вычисляются из системы:

$$\begin{cases} \Lambda_{\frac{1}{2}}^{[k]} \Pi^{[k]} + U^{[k]} = \Lambda_{\frac{1}{2}}^{[k]} \pi^{[k]} + u^{[k]} \\ \Lambda_{\frac{1}{2}}^{[k]} \Pi^{[k]} - U^{[k]} = \Lambda_{\frac{1}{2}}^{[k]} \pi^{[k]} - u^{[k]} \end{cases}$$



При допустимом шаге по времени (условие Куранта) пересчитываются эйлеровы координаты граничных точек ●

$$x(t + \tau) = x(t) + \tau U$$

и вычисляются в центрах ячеек  $C_j^i(t + \tau) = \frac{\Delta x^i}{\Delta \xi_j}$  и  $u^i(t + \tau) = u^i(t) + \tau \frac{\Delta \Pi_i^j}{\Delta \xi_j}$

Энтропия в центрах ячеек  $S(t + \tau) = S(t)$  (пока не меняется, изменение будет описано позже)

По каждой ячейке на шаге  $t + \tau$  проверяется выполнение закона сохранения энергии

$$\frac{\partial}{\partial t} \left[ \rho_0 \frac{u^i u_j}{2} + \rho_0 E \right] - \frac{\partial}{\partial \xi^j} \left[ u_i^i \rho_0 E_{c_j^i} \right] = 0$$

и проводится его **коррекция** путем выбора энтропии  $S(t + \tau)$

Эта коррекция также как и в случае одномерной газодинамической схемы **обеспечивает** неравенство

$$\frac{\partial S}{\partial t} \geq 0$$

при условии **положительной определенности** матрицы  $\left\{ E_{c_j^i c_l^k} \right\}$

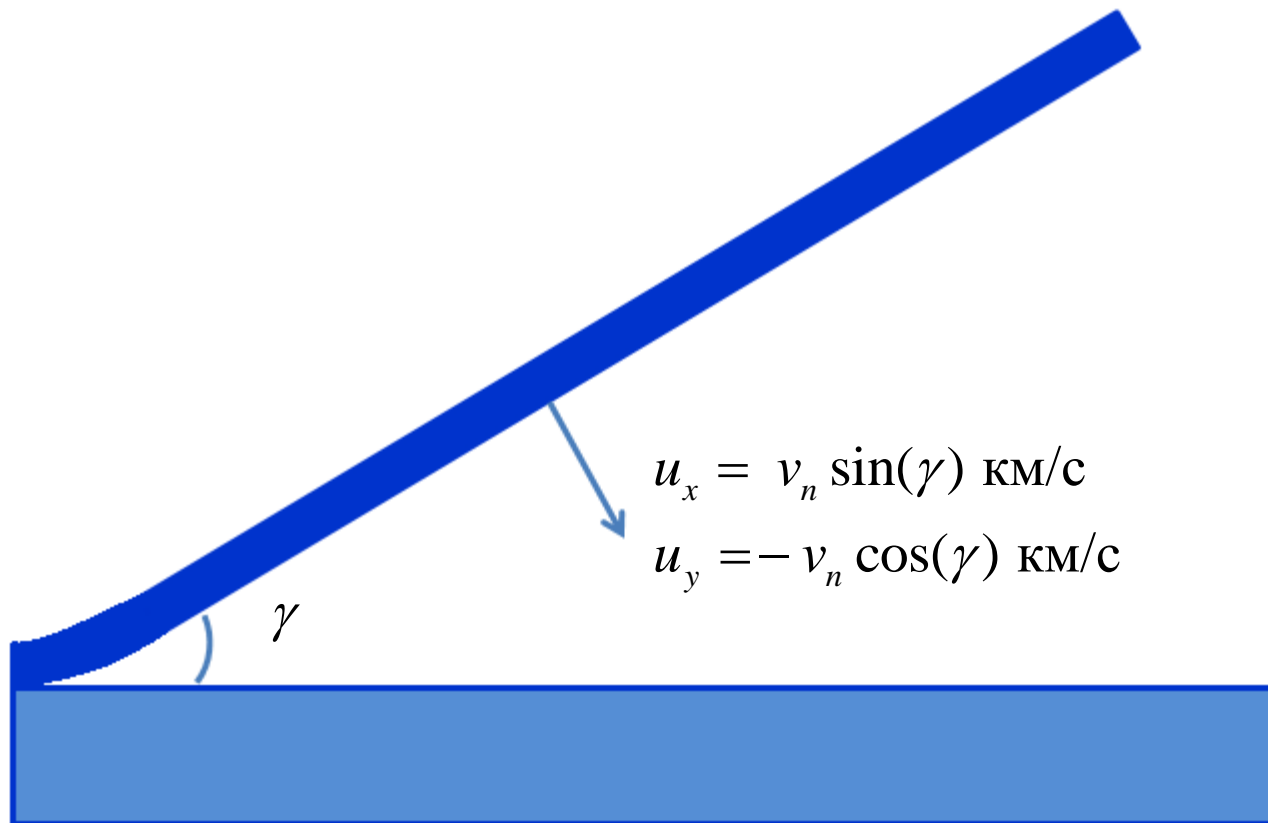
Для процесса релаксации мы можем, не меняя  $k_i$ , подобрать  $b_i$ ,

$$k_1 k_2 k_3 = k_1 k_2 k_3 b_1 b_2 b_3 = k_1 k_2 k_3$$

аннулируя тем самым девиатор, что эквивалентно действию максвелловских релаксаций. Этот прием значительно ускоряет вычислительный процесс и является реализацией моделирования пластических деформаций по Прандтлю (1928 г.)

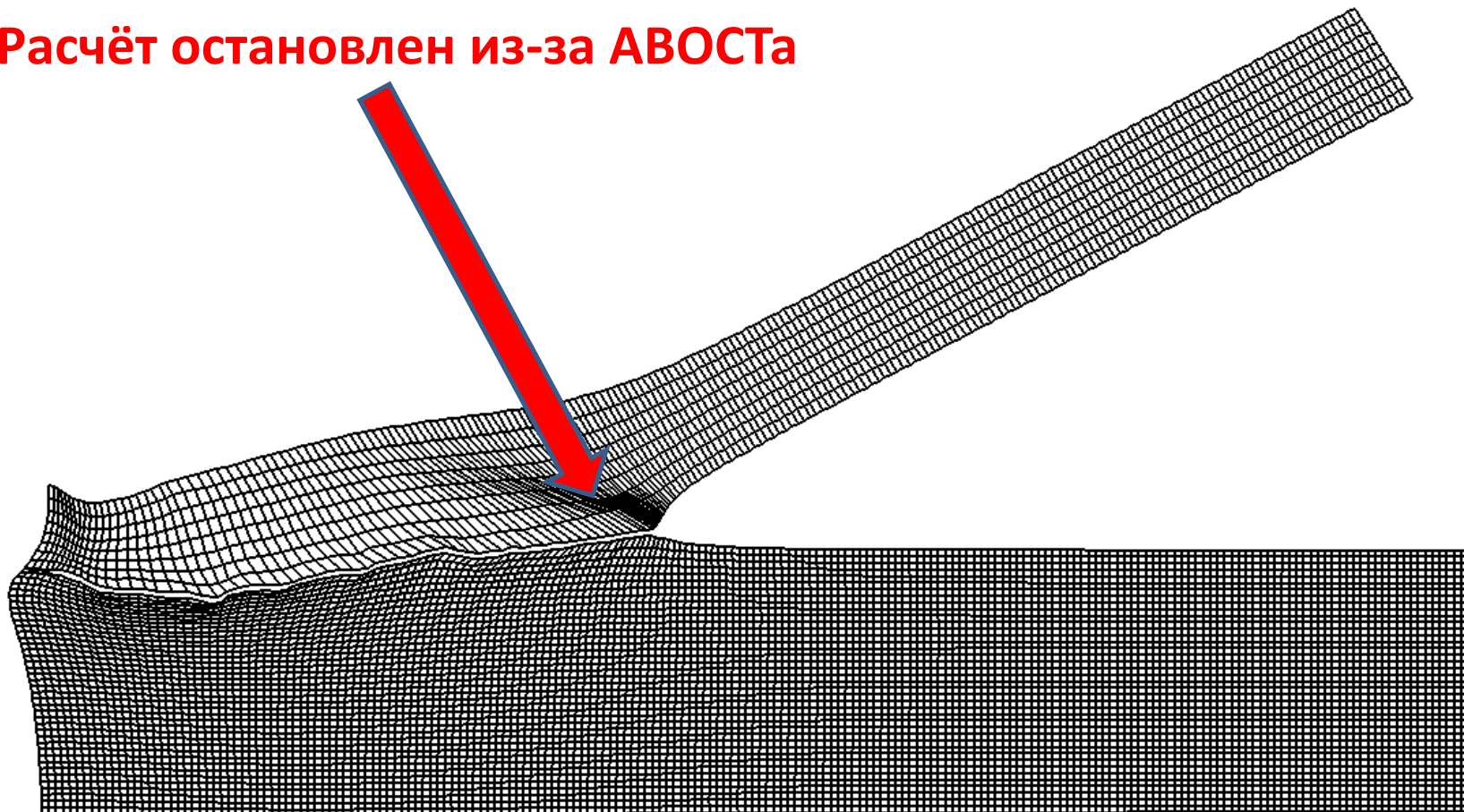
# Постановка задачи о сварке взрывом

Метание верхней пластины осуществляется в результате детонации накрывающего ее слоя ВВ



На этой задаче мы будем демонстрировать результаты модельных расчётов

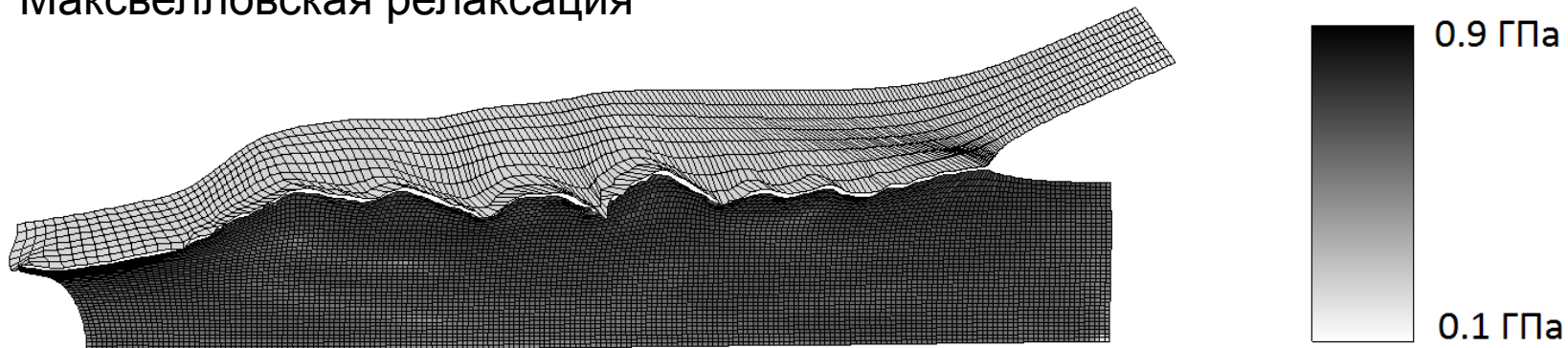
## Расчёт остановлен из-за АВОСТА



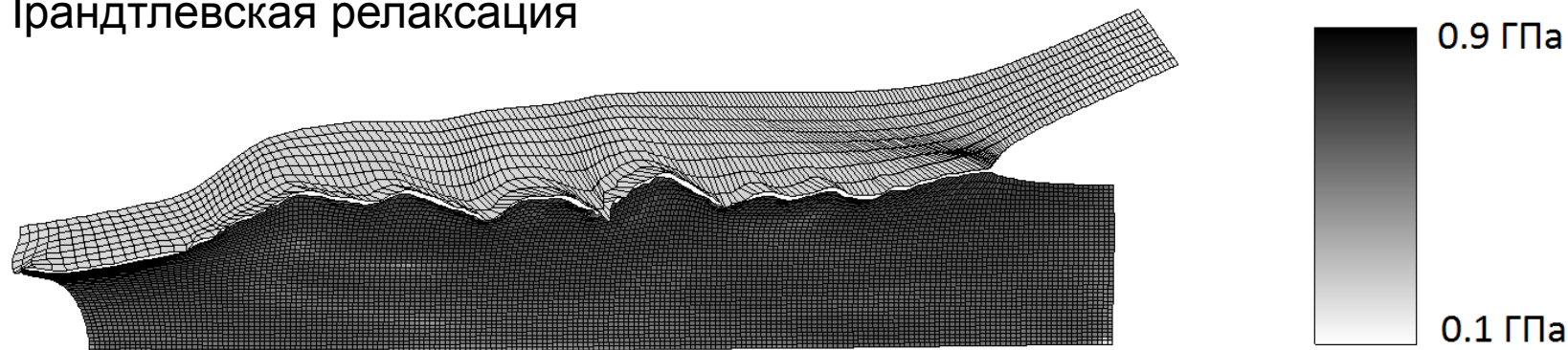
Проведение расчёта с ещё большим **мельчением** сетки позволило убедиться, что **опасная точка**, в которой отказывает расчётная модель, осталась **на том же месте**

**Мы сначала обсудим причину «АВОСТА» (граница области применимости уравнения состояния), а затем опишем продолжение расчета методом молекулярной динамики**

Максвелловская релаксация



Грандтлевская релаксация



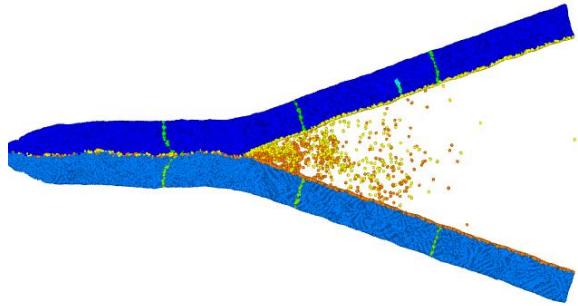
**Имеет место полное совпадение результатов расчета!**

# Модель молекулярной динамики

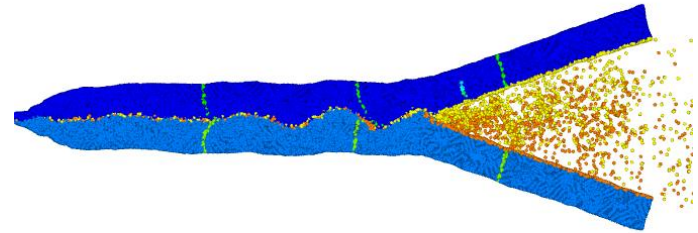
## Волны при соударении алюминиевых пластин, ИТПМ СО РАН

В численном расчете длина волны  $\lambda = 586 \text{ \AA}$ , Расчет длины волны по формуле Кудинова  $\lambda_K = 26\delta \sin^2(\gamma/2) = 624 \text{ \AA}$

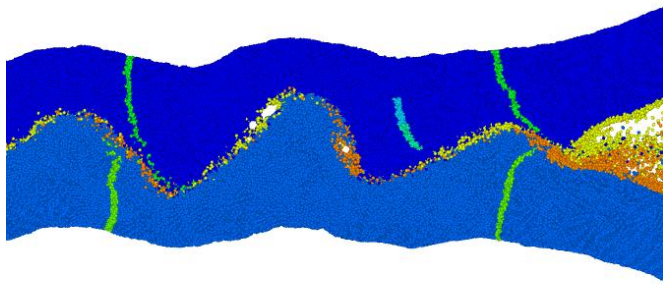
$t = 53 \text{ ps}$



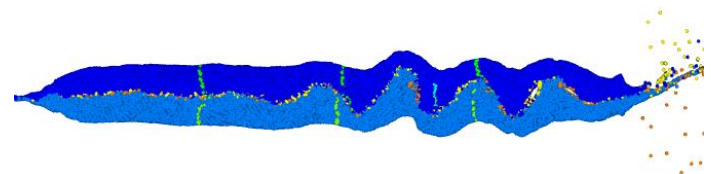
$t = 75 \text{ ps}$



$t = 90 \text{ ps}$



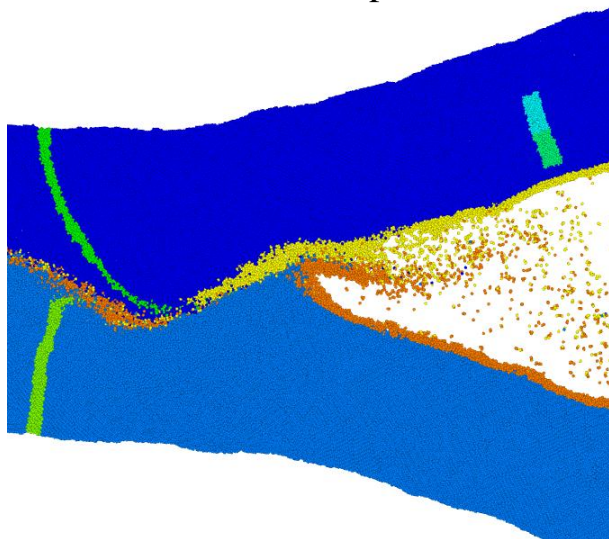
$t = 135 \text{ ps}$



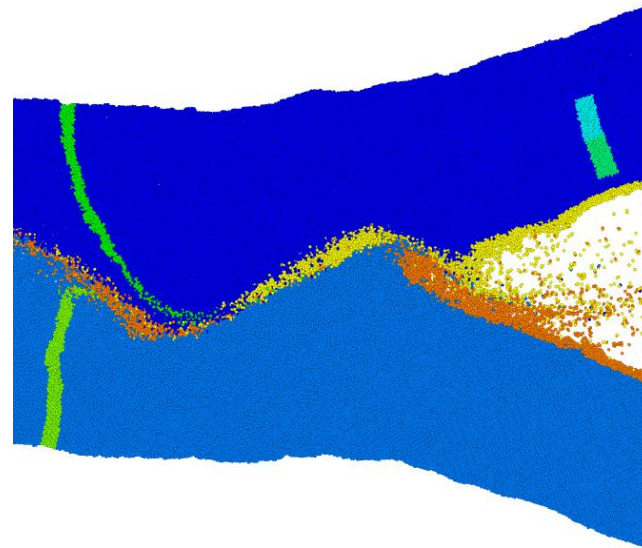
# Модель молекулярной динамики ИТПМ СО РАН

## Рентгеновский снимок во время процесса ИГил СО РАН

$t = 71,5 \text{ ps}$



$t = 75 \text{ ps}$

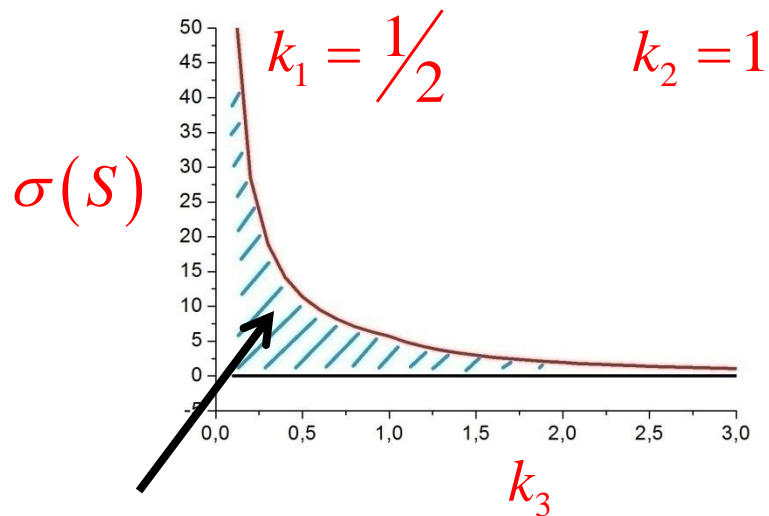
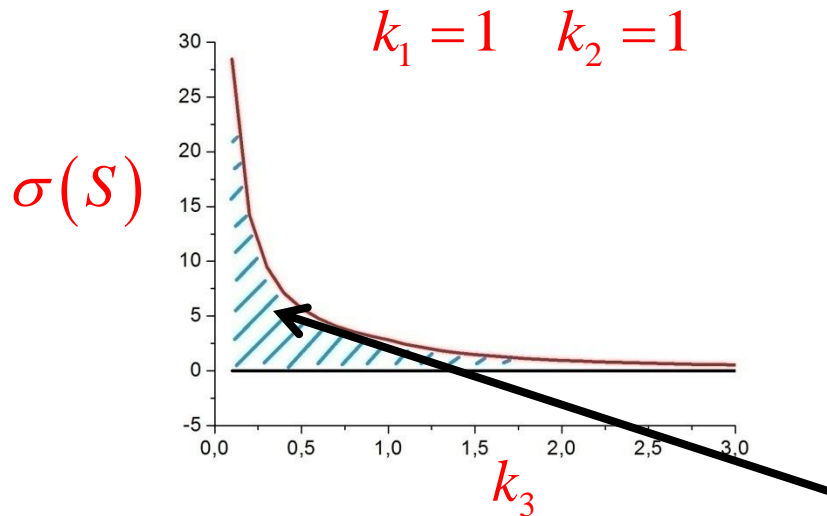


Киселев, Мали, ФГВ, 2012, Т. 48, №2

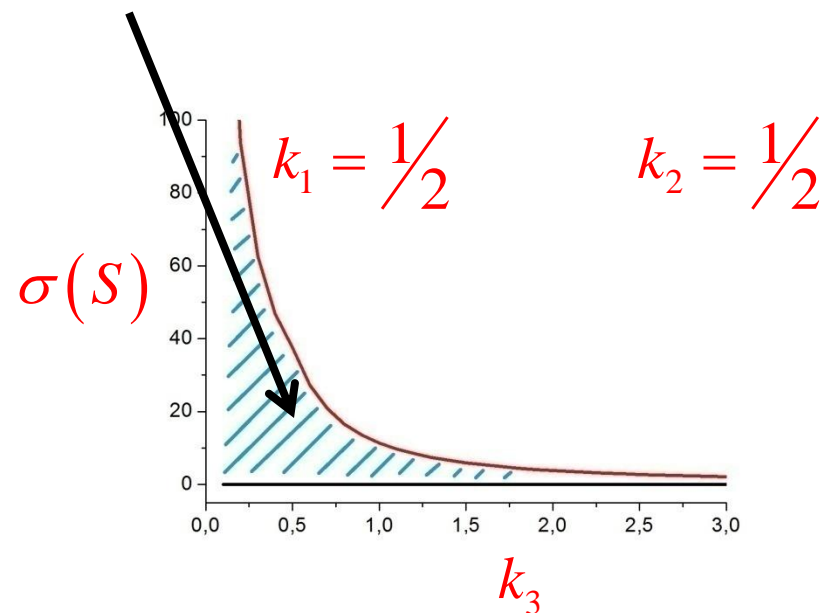
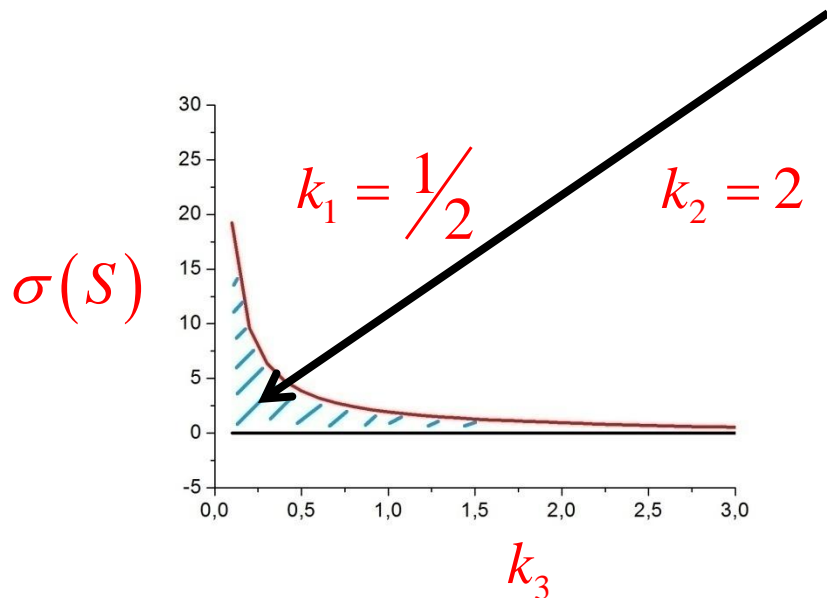


Рентгеновский снимок во время  
взрывного эксперимента  
(ИГил СО РАН)

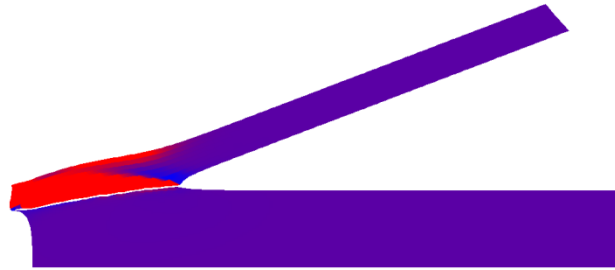
# Условия корректности уравнения состояния



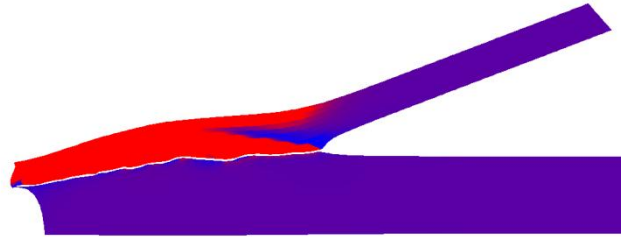
Зона корректности



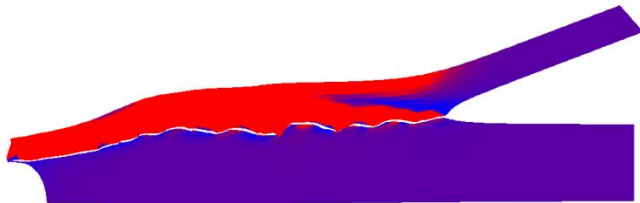
# Расчет контроля применимости уравнения состояния



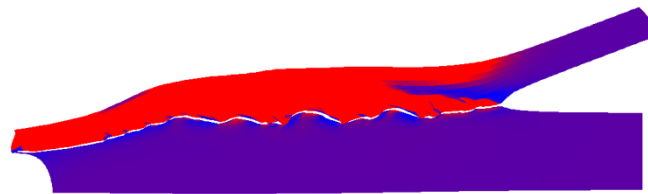
$t = 0.05$



$t = 0.1$



$t = 0.15$



$t = 0.17$



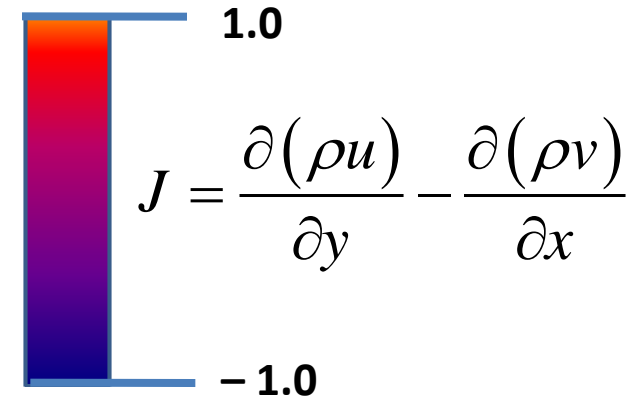
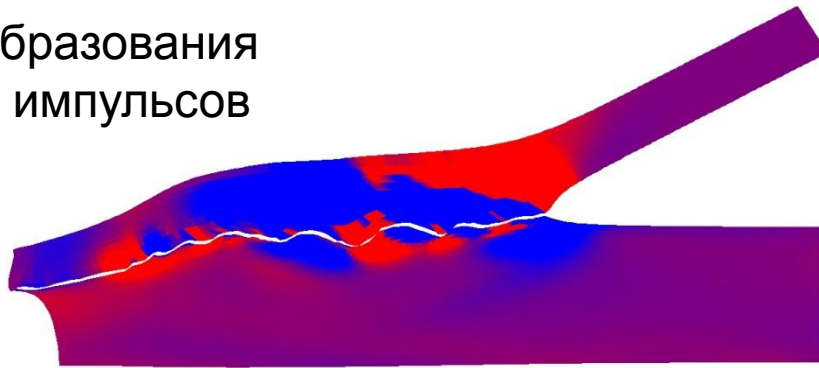
$$\min_i \left( \frac{1 + \frac{2c_1^2 \gamma}{3c_0^2 k_i}}{k_1 k_2 k_3} \right)$$

$$\max_i \left( \frac{1 - \frac{2c_1^2 \gamma}{c_0^2 k_i}}{k_1 k_2 k_3} \right)$$

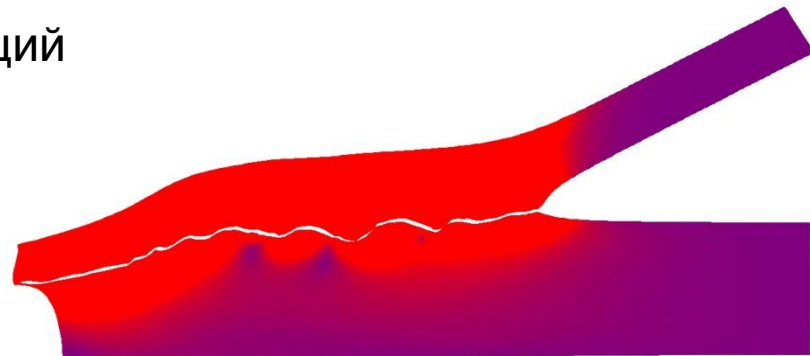
# Моментная теория упругости

Введение релаксационного процесса ведёт к появлению остаточных деформаций, при этом  $B = \{b_{ij}\} \neq I$  ( $b_{ij} \neq \delta_{ij}$ )

Область образования  
моментов импульсов



Область остаточных деформаций  
(ярко красная область)



**Спасибо за внимание!**